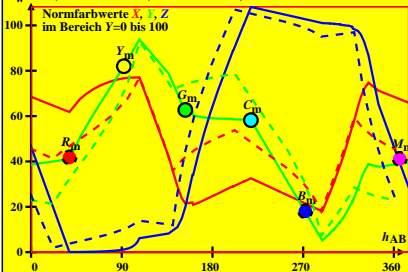
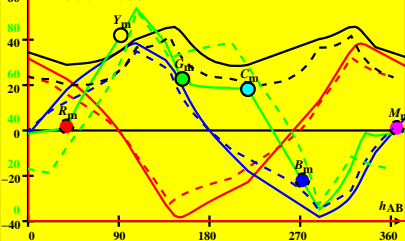


CIE-Daten von *Ostwald*-Farben von maximalem Buntwert $Y_w=100$, $Y_m=520\text{--}770$, $B_m=380\text{--}520$, und D65-*sRGB*-Daten



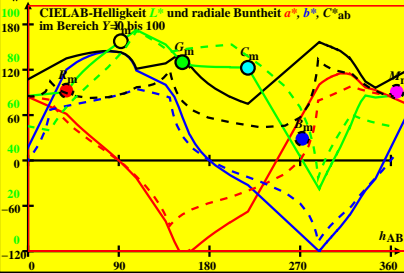
**CIE-Daten von *Ostwald-Farben* von maximalem Buntwert
 $Y_w=100$, $Y_m=520_770$, $B_m=380_520$, und D65-*sRGB*-Daten**

100 Normfarbwert Y , RG -, YB - und radiale Buntwerte A , B , C_{AB}
 im Bereich $Y=0$ bis 100

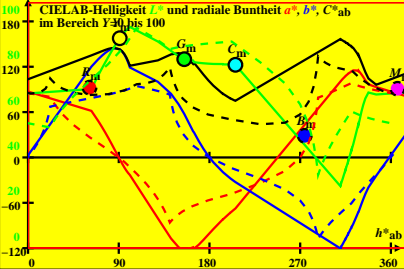


CIE-Daten von Ostwald-Farben von maximalem Buntwert
 $Y_w=100$, $Y_m=520\text{--}770$, $B_m=380\text{--}520$, und D65-*sRGB*-Daten

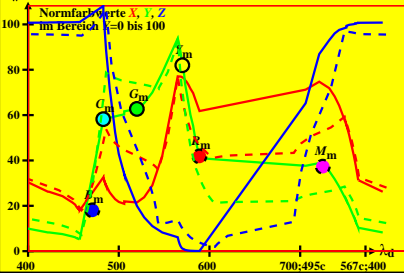
CIELAB-Helligkeit L^* und radiale Buntheit a^* , b^* , C^*_{ab}
 im Bereich $Y=30$ bis 100



CIE-Daten von Ostwald-Farben von maximalem Buntwert
 $Y_w=100$, $Y_m=520_770$, $B_m=380_520$, und D65-*sRGB*-Daten

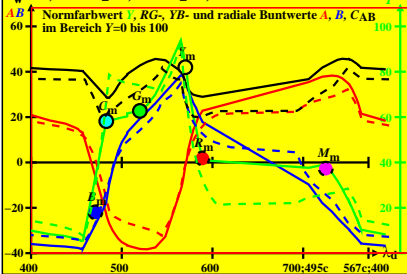


**CIE-Daten von *Ostwald*-Farben von maximalem Buntwert
 $Y_w=100$, $Y_m=520\text{-}770$, $B_m=380\text{-}520$, und D65-*sRGB*-Daten**

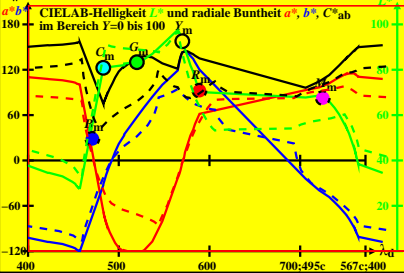


CIE-Daten von Ostwald-Farben von maximalem Buntwert
 $Y_w=100$, $Y_m=520\text{-}770$, $B_m=380\text{-}520$, und D65-*sRGB*-Daten

AB Normfarbwert Y , RG -, YB - und radiale Buntwerte A , B , C_{AB}
 im Bereich $Y=0$ bis 100

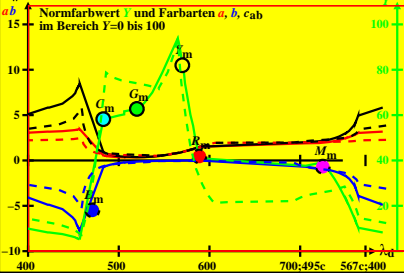


CIE-Daten von Ostwald-Farben von maximalem Buntwert
 $Y_w=100$, $Y_m=520\text{--}770$, $B_m=380\text{--}520$, und D65-*sRGB*-Daten

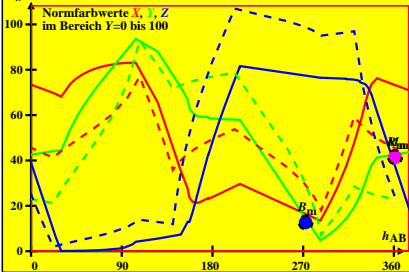


CIE-Daten von Ostwald-Farben von maximalem Buntwert
 $Y_w=100$, $Y_m=520_770$, $B_m=380_520$, und D65-*sRGB*-Daten

ab Normfarbwert Y und Farbarten a , b , c_{ab}
 im Bereich $Y=0$ bis 100

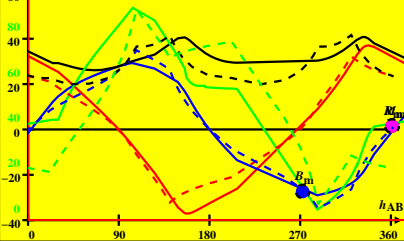


**CIE-Daten von *Ostwald*-Farben von maximalem Buntwert
 $Y_w=100$, $Y_m=520\text{--}770$, $B_m=380\text{--}520$, und D50-*sRGB*-Daten**



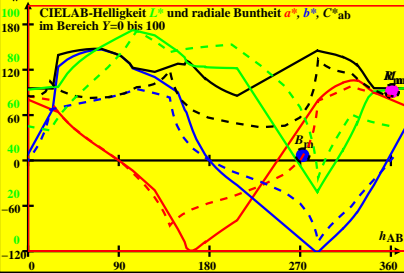
CIE-Daten von Ostwald-Farben von maximalem Buntwert
 $Y_w=100$, $Y_m=520_770$, $B_m=380_520$, und D50-*sRGB*-Daten

Normfarbwert Y , RG -, YB - und radiale Buntwerte A , B , C_{AB}
 im Bereich $Y=0$ bis 100

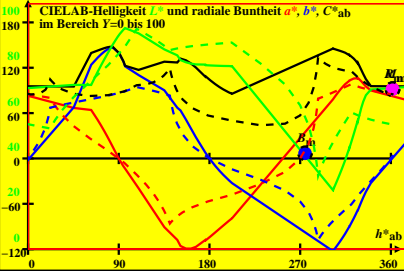


CIE-Daten von Ostwald-Farben von maximalem Buntwert
 $Y_w=100$, $Y_m=520\text{--}770$, $B_m=380\text{--}520$, und D50-sRGB-Daten

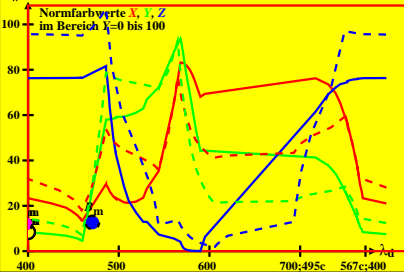
CIELAB-Helligkeit L^* und radiale Buntheit a^* , b^* , C^*_{ab}
im Bereich $Y=0$ bis 100



CIE-Daten von Ostwald-Farben von maximalem Buntwert
 $Y_w=100$, $Y_m=520_770$, $B_m=380_520$, und D50-sRGB-Daten

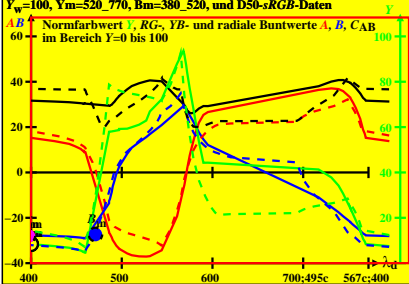


**CIE-Daten von *Ostwald-Farben* von maximalem Buntwert
 $Y_w=100$, $Y_m=520\text{-}770$, $B_m=380\text{-}520$, und D50-*sRGB*-Daten**



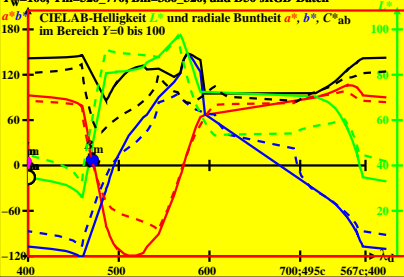
**CIE-Daten von *Ostwald-Farben* von maximalem Buntwert
 $Y_w=100$, $Y_m=520_770$, $B_m=380_520$, und D50-*sRGB*-Daten**

AB Normfarbwert *Y*, *RG*-, *YB*- und radiale Buntwerte *A*, *B*, *C_{AB}*
 im Bereich $Y=0$ bis 100



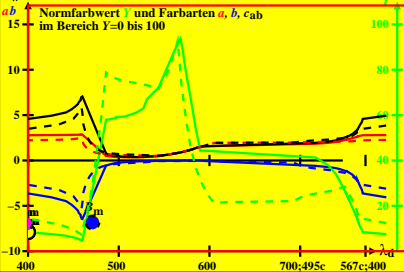
CIE-Daten von Ostwald-Farben von maximalem Buntwert
 $Y_w=100$, $Y_m=520\text{-}770$, $B_m=380\text{-}520$, und D50-*sRGB*-Daten

a^*b^* CIELAB-Helligkeit L^* und radiale Buntheit a^* , b^* , C^*_{ab}
 im Bereich $Y=0$ bis 100

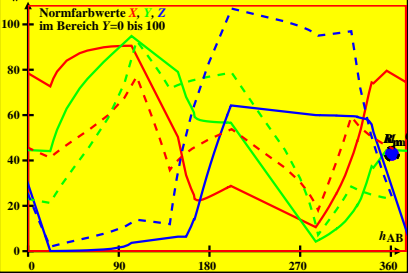


**CIE-Daten von *Ostwald*-Farben von maximalem Buntwert
 $Y_w=100$, $Y_m=520\text{-}770$, $B_m=380\text{-}520$, und D50-*sRGB*-Daten**

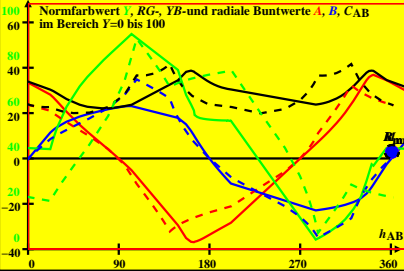
ab Normfarbwert Y und Farbarten a , b , c_{ab}
 im Bereich $Y=0$ bis 100



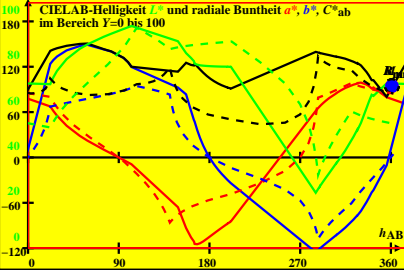
CIE-Daten von *Ostwald-Farben* von maximalem Buntwert $Y_w=100$, $Y_m=520\text{--}770$, $B_m=380\text{--}520$, und P40-*sRGB*-Daten



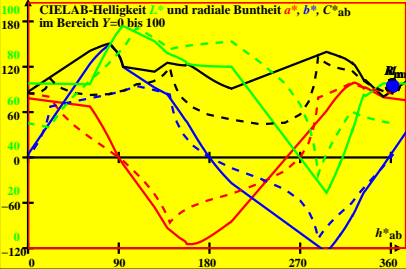
CIE-Daten von Ostwald-Farben von maximalem Buntwert
 $Y_w=100$, $Y_m=520_770$, $B_m=380_520$, und P40-sRGB-Daten



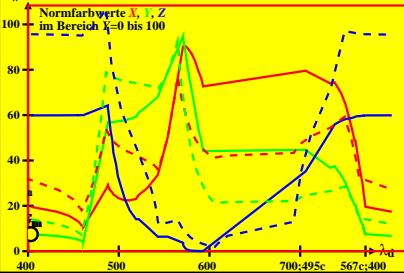
CIE-Daten von Ostwald-Farben von maximalem Buntwert
 $Y_w=100$, $Y_m=520\text{--}770$, $B_m=380\text{--}520$, und P40-sRGB-Daten



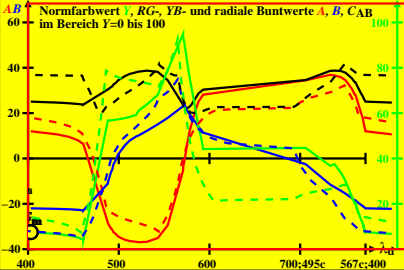
CIE-Daten von Ostwald-Farben von maximalem Buntwert
 $Y_w=100$, $Y_m=520\text{--}770$, $B_m=380\text{--}520$, und P40-sRGB-Daten



**CIE-Daten von *Ostwald-Farben* von maximalem Buntwert
 $Y_w=100$, $Y_m=520_770$, $B_m=380_520$, und P40-*sRGB*-Daten**



CIE-Daten von *Ostwald-Farben* von maximalem Buntwert $Y_w=100$, $Y_m=520_770$, $B_m=380_520$, und P40-*sRGB*-Daten

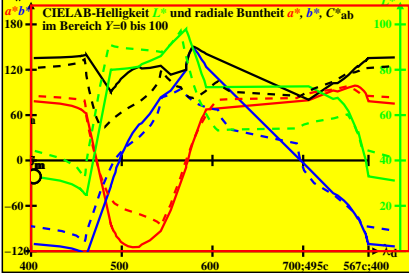


0-000030-L0

TG060-6A_1

CIE-Daten von *Ostwald-Farben* von maximalem Buntwert
 $Y_w=100$, $Y_m=520\text{-}770$, $B_m=380\text{-}520$, und P40-*sRGB*-Daten

a^*b^* CIELAB-Helligkeit L^* und radiale Buntheit a^* , b^* , C^*_{ab}
 im Bereich $Y=0$ bis 100

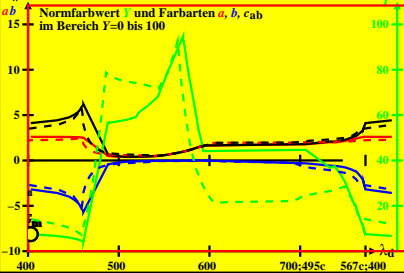


0-000030-L0

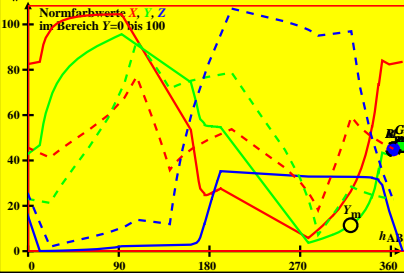
TG060-6A_1

CIE-Daten von Ostwald-Farben von maximalem Buntwert
 $Y_w=100$, $Y_m=520_770$, $B_m=380_520$, und P40-sRGB-Daten

ab Normfarbwert Y und Farbarten a , b , c_{ab}
 im Bereich $Y=0$ bis 100

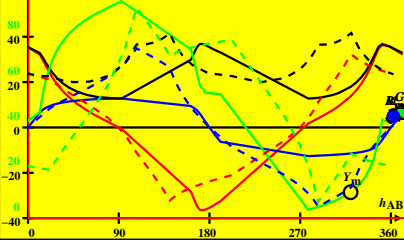


**CIE-Daten von *Ostwald*-Farben von maximalem Buntwert
 $Y_w=100$, $Y_m=520\text{--}770$, $B_m=380\text{--}520$, und A00-*sRGB*-Daten**

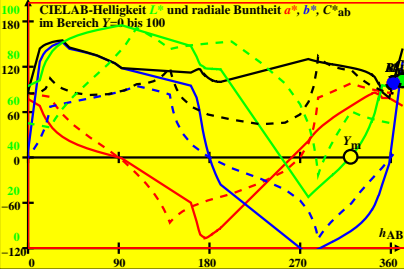


**CIE-Daten von *Ostwald*-Farben von maximalem Buntwert
 $Y_w=100$, $Y_m=520\text{--}770$, $B_m=380\text{--}520$, und A00-*sRGB*-Daten**

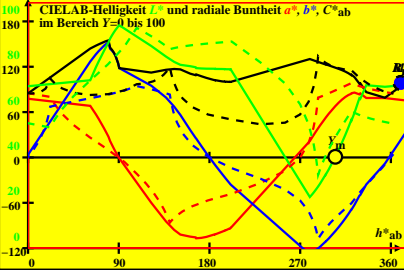
Normfarbwert Y , RG -, YB - und radiale Buntwerte A , B , C_{AB}
 im Bereich $Y=0$ bis 100



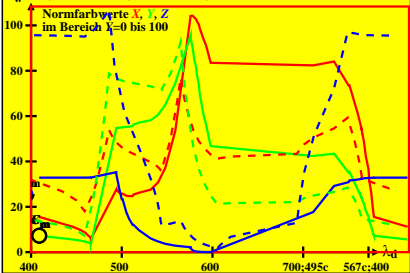
**CIE-Daten von *Ostwald-Farben* von maximalem Buntwert
 $Y_w=100$, $Y_m=520\text{--}770$, $B_m=380\text{--}520$, und A00-*sRGB*-Daten**



CIE-Daten von Ostwald-Farben von maximalem Buntwert
 $Y_w=100$, $Y_m=520_770$, $B_m=380_520$, und A00-sRGB-Daten

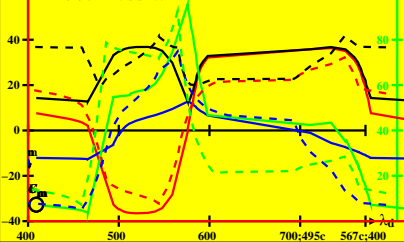


**CIE-Daten von *Ostwald-Farben* von maximalem Buntwert
 $Y_w=100$, $Y_m=520_770$, $B_m=380_520$, und A00-*sRGB*-Daten**



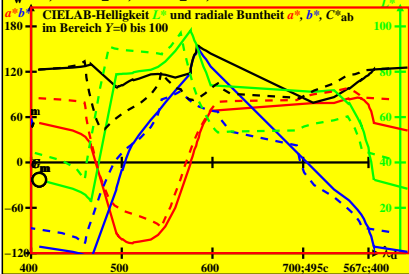
**CIE-Daten von *Ostwald-Farben* von maximalem Buntwert
 $Y_w=100$, $Y_m=520_770$, $B_m=380_520$, und A00-*sRGB*-Daten**

AB Normfarbwert Y , RG -, YB - und radiale Buntwerte A , B , C_{AB}
 im Bereich $Y=0$ bis 100



**CIE-Daten von *Ostwald-Farben* von maximalem Buntwert
 $Y_w=100$, $Y_m=520\text{-}770$, $B_m=380\text{-}520$, und A00-*sRGB*-Daten**

**a^*b^* CIELAB-Helligkeit L^* und radiale Buntheit a^* , b^* , C^*_{ab}
 im Bereich $Y=0$ bis 100**

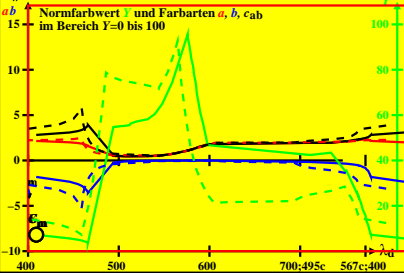


0-000030-L0

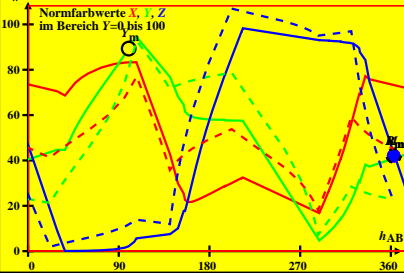
TG060-6A_1

CIE-Daten von *Ostwald*-Farben von maximalem Buntwert
 $Y_w=100$, $Y_m=520\text{-}770$, $B_m=380\text{-}520$, und A00-*sRGB*-Daten

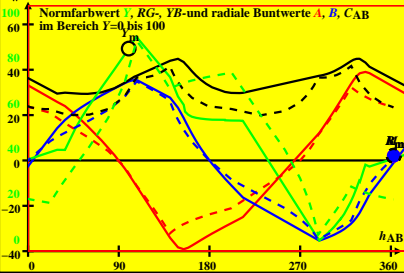
ab Normfarbwert Y und Farbarten a , b , c_{ab}
 im Bereich $Y=0$ bis 100



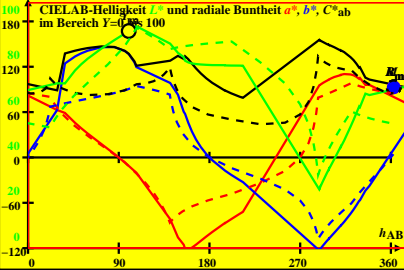
CIE-Daten von Ostwald-Farben von maximalem Buntwert
 $Y_w=100$, $Y_m=520\text{--}770$, $B_m=380\text{--}520$, und E00-sRGB-Daten



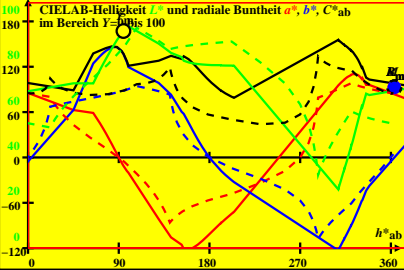
CIE-Daten von Ostwald-Farben von maximalem Buntwert
 $Y_w=100$, $Y_m=520_770$, $B_m=380_520$, und E00-sRGB-Daten



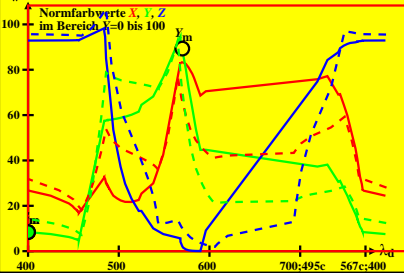
CIE-Daten von Ostwald-Farben von maximalem Buntwert
 $Y_w=100$, $Y_m=520_770$, $B_m=380_520$, und E00-sRGB-Daten



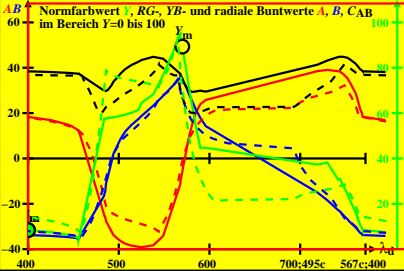
**CIE-Daten von *Ostwald-Farben* von maximalem Buntwert
 $Y_w=100$, $Y_m=520\text{--}770$, $B_m=380\text{--}520$, und E00-*sRGB*-Daten**



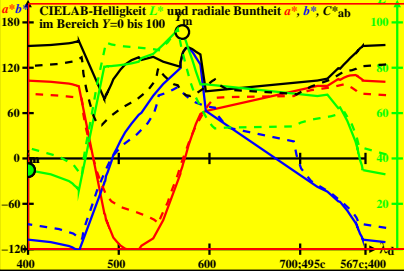
CIE-Daten von Ostwald-Farben von maximalem Buntwert
 $Y_w=100$, $Y_m=520\text{--}770$, $B_m=380\text{--}520$, und E00-sRGB-Daten



CIE-Daten von Ostwald-Farben von maximalem Buntwert
 $Y_w=100$, $Y_m=520_770$, $B_m=380_520$, und E00-sRGB-Daten



CIE-Daten von *Ostwald-Farben* von maximalem Buntwert
 $Y_w=100$, $Y_m=520\text{-}770$, $B_m=380\text{-}520$, und E00-*sRGB*-Daten

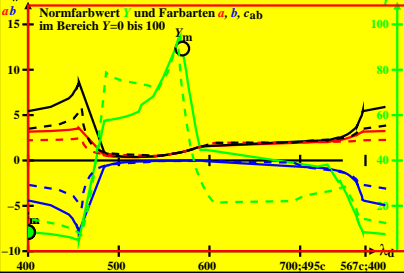


0-000030-L0

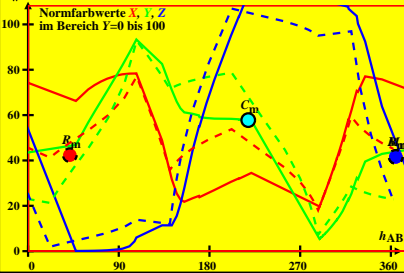
TG060-6A_1

CIE-Daten von Ostwald-Farben von maximalem Buntwert
 $Y_w=100$, $Y_m=520\text{-}770$, $B_m=380\text{-}520$, und E00-sRGB-Daten

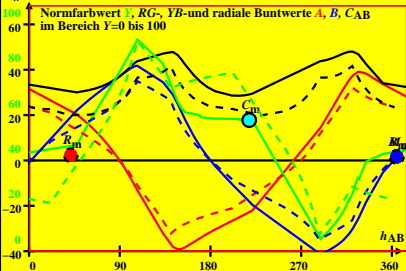
ab Normfarbwert Y und Farbarten a , b , c_{ab}
 im Bereich $Y=0$ bis 100



CIE-Daten von *Ostwald*-Farben von maximalem Buntwert
 $Y_w=100$, $Y_m=520_770$, $B_m=380_520$, und C00-*sRGB*-Daten

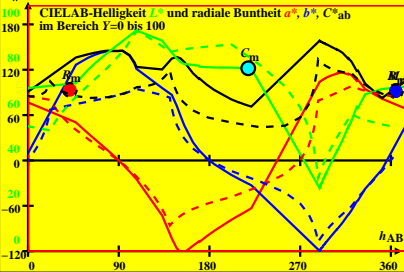


CIE-Daten von Ostwald-Farben von maximalem Buntwert
 $Y_w=100$, $Y_m=520_770$, $B_m=380_520$, und C00-sRGB-Daten

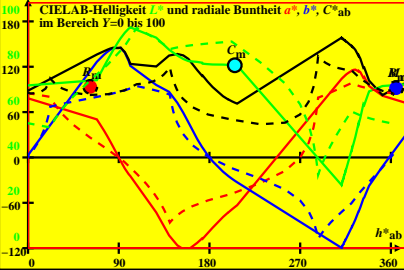


CIE-Daten von Ostwald-Farben von maximalem Buntwert
 $Y_w=100$, $Y_m=520\text{--}770$, $B_m=380\text{--}520$, und C00-sRGB-Daten

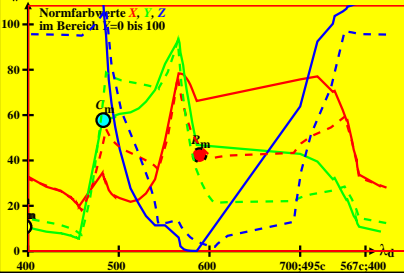
CIELAB-Helligkeit L^* und radiale Buntheit a^* , b^* , C^*_{ab}
im Bereich $Y=0$ bis 100



CIE-Daten von Ostwald-Farben von maximalem Buntwert
 $Y_w=100$, $Y_m=520\text{--}770$, $B_m=380\text{--}520$, und C00-sRGB-Daten

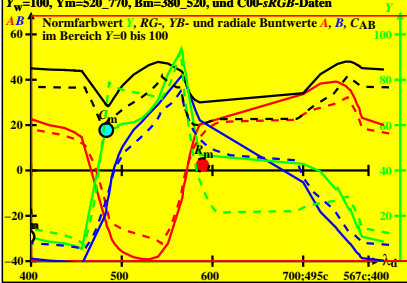


**CIE-Daten von *Ostwald*-Farben von maximalem Buntwert
 $Y_w=100$, $Y_m=520\text{--}770$, $B_m=380\text{--}520$, und C00-*sRGB*-Daten**



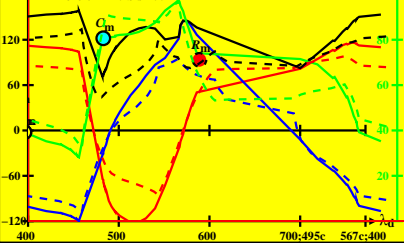
CIE-Daten von *Ostwald-Farben* von maximalem Buntwert $Y_w=100$, $Y_m=520\text{--}770$, $B_m=380\text{--}520$, und C00-*sRGB*-Daten

AB Normfarbwert Y , RG -, YB - und radiale Buntwerte A , B , C_{AB} im Bereich $Y=0$ bis 100



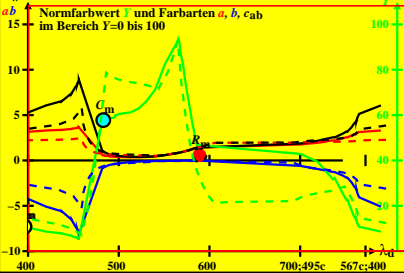
CIE-Daten von Ostwald-Farben von maximalem Buntwert
 $Y_w=100$, $Y_m=520\text{--}770$, $B_m=380\text{--}520$, und C00-sRGB-Daten

a^*b^* CIELAB-Helligkeit L^* und radiale Buntheit a^* , b^* , C^*_{ab}
 im Bereich $Y=0$ bis 100

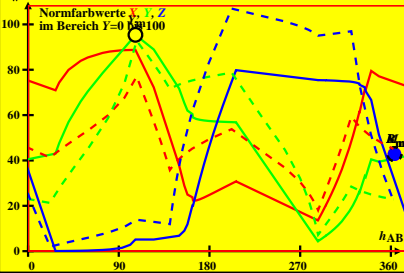


CIE-Daten von Ostwald-Farben von maximalem Buntwert
 $Y_w=100$, $Y_m=520\text{--}770$, $B_m=380\text{--}520$, und C00-sRGB-Daten

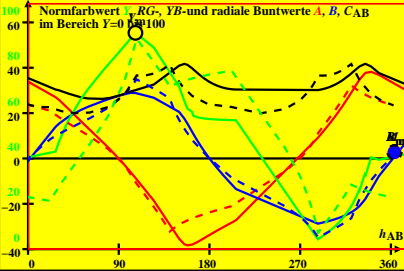
ab Normfarbwert Y und Farbarten a , b , c_{ab}
 im Bereich $Y=0$ bis 100



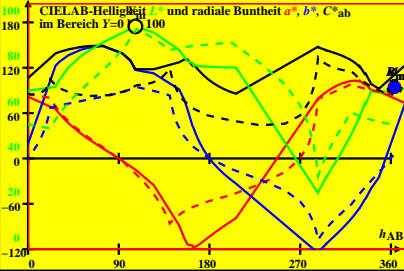
CIE-Daten von *Ostwald-Farben* von maximalem Buntwert
 $Y_w=100$, $Y_m=520_770$, $B_m=380_520$, und P00-*sRGB*-Daten



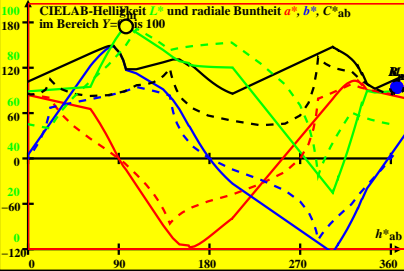
CIE-Daten von Ostwald-Farben von maximalem Buntwert
 $Y_w=100$, $Y_m=520\text{--}770$, $B_m=380\text{--}520$, und P00-*sRGB*-Daten



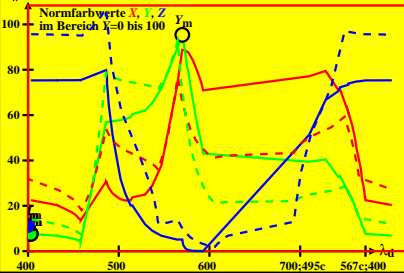
CIE-Daten von Ostwald-Farben von maximalem Buntwert
 $Y_w=100$, $Y_m=520_770$, $B_m=380_520$, und P00-*sRGB*-Daten



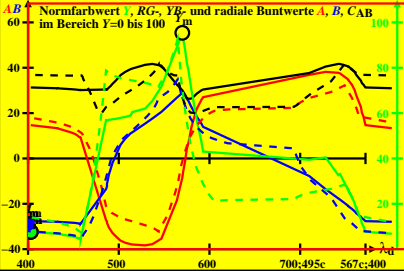
CIE-Daten von Ostwald-Farben von maximalem Buntwert
 $Y_w=100$, $Y_m=520\text{--}770$, $B_m=380\text{--}520$, und P00-*sRGB*-Daten



CIE-Daten von *Ostwald-Farben* von maximalem Buntwert $Y_w=100$, $Y_m=520\text{-}770$, $B_m=380\text{-}520$, und P00-*sRGB*-Daten



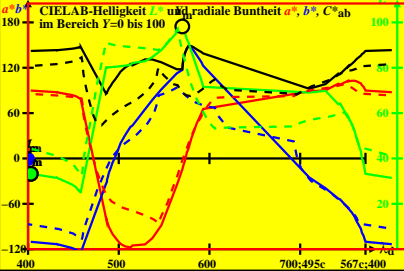
CIE-Daten von Ostwald-Farben von maximalem Buntwert
 $Y_w=100$, $Y_m=520_770$, $B_m=380_520$, und P00-*sRGB*-Daten



0-000030-L0

TG060-6A_1

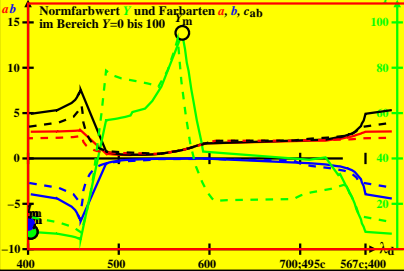
CIE-Daten von *Ostwald-Farben* von maximalem Buntwert
 $Y_w=100$, $Y_m=520\text{-}770$, $B_m=380\text{-}520$, und P00-*sRGB*-Daten



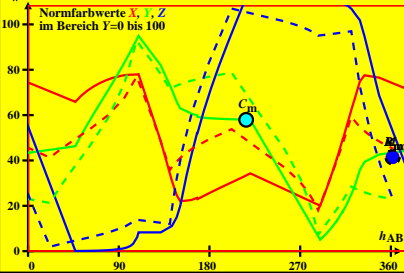
0-000030-L0

TG060-6A_1

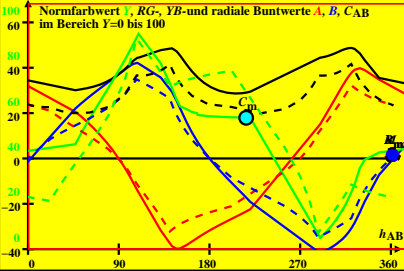
CIE-Daten von Ostwald-Farben von maximalem Buntwert
 $Y_w=100$, $Y_m=520\text{-}770$, $B_m=380\text{-}520$, und P00-*sRGB*-Daten



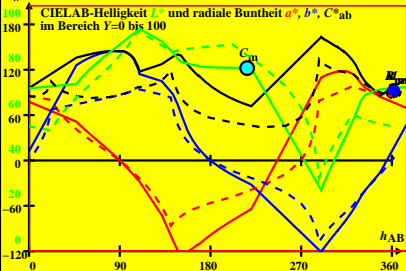
**CIE-Daten von *Ostwald*-Farben von maximalem Buntwert
 $Y_w=100$, $Y_m=520_770$, $B_m=380_520$, und Q00-*sRGB*-Daten**



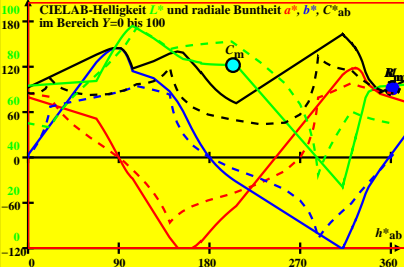
CIE-Daten von Ostwald-Farben von maximalem Buntwert
 $Y_w=100$, $Y_m=520_770$, $B_m=380_520$, und Q00-*sRGB*-Daten



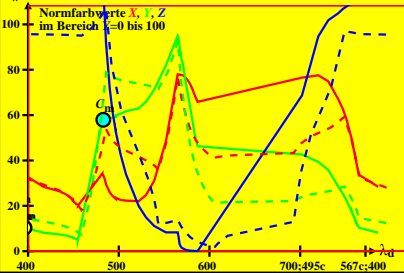
**CIE-Daten von *Ostwald-Farben* von maximalem Buntwert
 $Y_w=100$, $Y_m=520\text{--}770$, $B_m=380\text{--}520$, und Q00-*sRGB*-Daten**



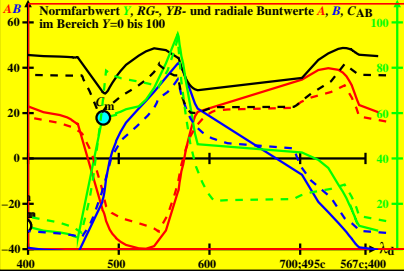
CIE-Daten von *Ostwald-Farben* von maximalem Buntwert
 $Y_w=100$, $Y_m=520\text{--}770$, $B_m=380\text{--}520$, und Q00-*sRGB*-Daten



CIE-Daten von Ostwald-Farben von maximalem Buntwert
 $Y_w=100$, $Y_m=520\text{--}770$, $B_m=380\text{--}520$, und Q00-*sRGB*-Daten

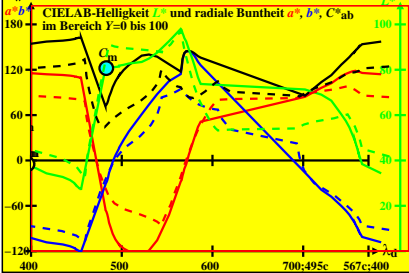


CIE-Daten von *Ostwald*-Farben von maximalem Buntwert
 $Y_w=100$, $Y_m=520_770$, $B_m=380_520$, und Q00-*sRGB*-Daten



CIE-Daten von *Ostwald-Farben* von maximalem Buntwert
 $Y_w=100$, $Y_m=520\text{-}770$, $B_m=380\text{-}520$, und Q00-*sRGB*-Daten

a^*b^* CIELAB-Helligkeit L^* und radiale Buntheit a^* , b^* , C^*_{ab}
 im Bereich $Y=0$ bis 100



0-000030-L0

TG060-6A_1

CIE-Daten von Ostwald-Farben von maximalem Buntwert
 $Y_w=100$, $Y_m=520_770$, $B_m=380_520$, und Q00-*sRGB*-Daten

